

КРАТКИЕ СООБЩЕНИЯ

УДК 535-46

АНАЛИЗ ОСНОВНОГО УРАВНЕНИЯ
ПРОСВЕТНОЙ ЭЛЛИПСОМЕТРИИ

М. И. Абаев и Э. С. Путилин

Отражательная эллипсометрия в настоящее время является общепризнанным и широко используемым методом исследования слоистых систем. Просветная эллипсометрия используется для этих целей редко, несмотря на то что ее возможности не менее широки. Более того, в некоторых случаях эллипсометрическое исследование может быть выполнено только в проходящем свете.

В работе [1] проведен анализ основного уравнения эллипсометрии в линейном приближении. В настоящей работе такой анализ проводится на основе точных формул. Сравнение результатов дается ниже.

Основная формула просветной эллипсометрии для модели, представленной на рис. 1, имеет вид

$$\rho \equiv \operatorname{tg} \Psi e^{i\Delta} = \frac{T_{12p} T_{23p}}{T_{12s} T_{23s}} \frac{1 + R_{12s} R_{23s} e^{2i\delta}}{1 + R_{12p} R_{23p} e^{2i\delta}}, \quad (1)$$

где Δ и Ψ — измеряемые на эллипсометре параметры, $\delta = 2\pi n_2 d \cos \varphi_2 / \lambda$, а T_{12p} , T_{12s} , T_{23p} , T_{23s} , R_{12p} , R_{12s} , R_{23p} , R_{23s} есть коэффициенты пропускания и отражения Френеля для соответствующих границ [2].

Исходя из физических соображений и удобства изложения, рассмотрим два случая: 1) $n_2 > n_1$ или $n_2 < n_1$ при $0 < \varphi_1 < \varphi_c = \arcsin(n_2/n_1)$ (угол падения меньше критического φ_c), 2) $n_2 < n_1$ при $\varphi_1 > \varphi_c$ (угол падения больше критического).

Для первого случая перепишем формулу (1) в виде

$$\rho \equiv \operatorname{tg} \Psi e^{i\Delta} = \frac{A_1 A_2 + A_3 A_4 e^{2i\delta}}{B_1 B_2 + B_3 B_4 e^{2i\delta}}, \quad (2)$$

где

$$\begin{aligned} A_1 &= n_1 \cos \varphi_1 + n_2 \cos \varphi_2, & A_2 &= n_2 \cos \varphi_2 + n_3 \cos \varphi_3, & A_3 &= n_1 \cos \varphi_1 - n_2 \cos \varphi_2, \\ A_4 &= n_2 \cos \varphi_2 - n_3 \cos \varphi_3, & B_1 &= n_2 \cos \varphi_1 + n_1 \cos \varphi_2, & B_2 &= n_3 \cos \varphi_2 + n_2 \cos \varphi_3, \\ & & B_3 &= n_2 \cos \varphi_1 - n_1 \cos \varphi_2, & B_4 &= n_3 \cos \varphi_2 - n_2 \cos \varphi_3, \end{aligned}$$

а величины углов φ_2 и φ_3 определяются из закона Снеллиуса $n_1 \sin \varphi_1 = n_2 \sin \varphi_2 = n_3 \sin \varphi_3$.

Во втором случае в соответствии с законом Снеллиуса угол φ_2 перестает быть действительным, а величина

$$\cos \varphi_2 = \sqrt{1 - \frac{n_1^2 \sin^2 \varphi_1}{n_2^2}}$$

становится чисто мнимой. Физически это означает, что волна затухает по мере проникновения в среду слоя, даже если поглощение в ней отсутствует. Запишем формулу (1) для этого случая в виде

$$\rho \equiv \operatorname{tg} \Psi e^{i\Delta} = \frac{X_1(1 - e^{-2\delta}) + iY_1(1 + e^{-2\delta})}{X_2(1 - e^{-2\delta}) + iY_2(1 + e^{-2\delta})}, \quad (3)$$

Сравнение результатов, полученных по точным (2) и (3) и приближенным (4) формулам при $\varphi_1=88^\circ$, приводит к следующему: если $\beta=10\%$, то для токов до 100 А, ошибка не превышает 20%, если $\beta=1\%$, то ошибка, меньшая 20%, получается для токов до 500 А.

Укажем далее на возможность использования в просветной эллипсо-метрии одного метода решения обратной задачи, т. е. вычисления величин

$$(4) \quad \begin{cases} \Delta = -\frac{\gamma(\pi - 2\varphi_1)}{2\pi d n_1 \beta} \\ \bar{\mu} = \frac{\gamma}{\pi} - \frac{\bar{\gamma}}{32\pi^2 d^2 n_1^2 \beta} & (n_2 > n_1); \\ \bar{\mu} = \frac{\gamma}{\pi} + \frac{\bar{\gamma}}{16\pi^2 d^2 n_1^2 \beta} & (n_2 < n_1). \end{cases}$$

Из физических соображений, однако, ясно, что при $\varphi_1=90^\circ$ (лучок ориентирован параллельно слою) наличие последнего эллипсометрически не может быть обнаружено. Это различие, выявляющееся следствием расхождения в линейном приближении по толщине ($d \gg \lambda$), свидетельствует о неадекватности подобного рассмотрения в оптимальных условиях — при φ_1 близки 90°.

В оптимальных условиях величина $(\pi/2) - \varphi_1$ мала. Если считать все средние диэлектрическими и также малыми величинами $d \ll \lambda$ и разницу в коэффициентах преломления $n_2 = n_1(1 \pm \beta)$, $\beta \ll 1$, то при $n_1 = n_3$ путем разложения по всем этим малым величинам получается формулы линейного приближения просветной эллипсометрии — аналогичные формулы линейного приближения для отражательной эллипсометрии.

Рис. 2. Зависимость эллипсометрических углов Δ и $\bar{\mu}$ от угла падения φ_1 при $n_1 = n_3 = 1.5$, $d = 100 \text{ \AA}$.
Кривая 1 — для $n_2 = 1.3$ ($\varphi_0 = 60.04^\circ$), кривая 2 — для $n_2 = 1.7$.

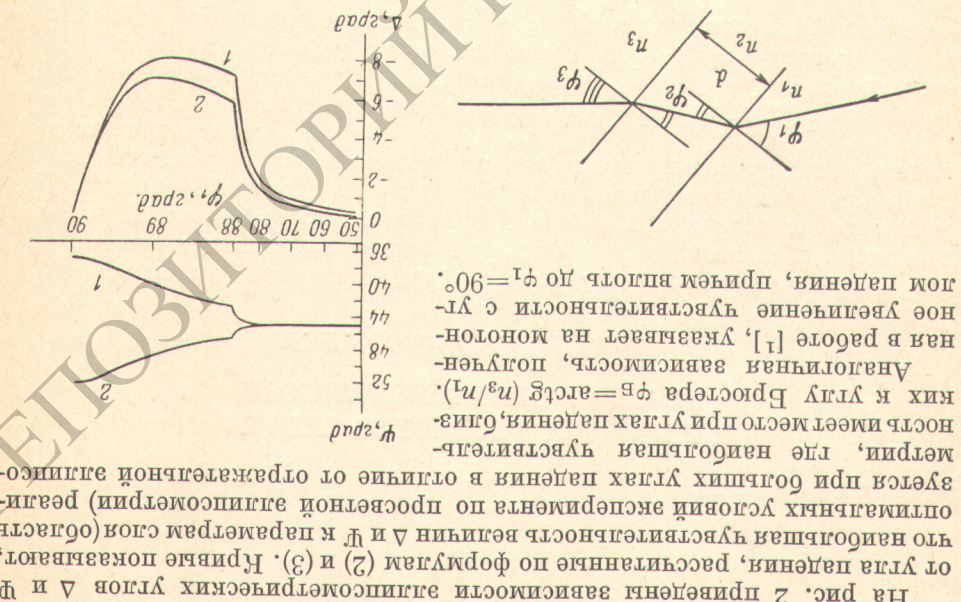


Рис. 1. Оптическая модель системы с однородным слоем.

На рис. 2 приведены зависимости эллипсометрических углов Δ и $\bar{\mu}$ от угла падения, рассчитанные по формулам (2) и (3). Кривые показывают, что наиболее чувствительность величин Δ и $\bar{\mu}$ к параметрам слоя (область оптимальных условий эксперимента по просветной эллипсометрии) реализуется при больших углах падения в отличие от отражательной эллипсометрии, где наиболее чувствительность имеет место при углах падения, близких к углу Брюстера $\varphi_B = \arctg(n_2/n_1)$.

Аналогичная зависимость, полученная в работе [1], указывает на монотонное увеличение чувствительности с углом падения, прием вплоть до $\varphi_1 = 90^\circ$.

$$a |\cos \varphi_2| = \sqrt{\frac{n_2^2 \sin^2 \varphi_1}{n_1^2} - 1} \text{ — действительная величина.}$$

$$X_1 = n_1 n_2 \cos \varphi_1 \cos \varphi_2 - n_2^2 |\cos \varphi_2|^2, \quad X_2 = n_2 |\cos \varphi_2| (n_1 \cos \varphi_1 + n_3 \cos \varphi_3), \\ X_3 = n_2^2 \cos \varphi_1 \cos \varphi_2 - n_1 n_3 |\cos \varphi_2|^2, \quad X_4 = n_2 |\cos \varphi_2| (n_1 \cos \varphi_2 + n_3 \cos \varphi_1),$$

n_2 и d по экспериментальным значениям Δ и Ψ . Идея метода, аналогичная идее метода Холмса [3], состоит в следующем. Выражение (2) можно решить относительно величины $e^{2i\delta}$, в показателе степени которой стоит чисто мнимая величина, если в слое отсутствует поглощение, т. е. для этого случая $|e^{2i\delta}|=1$. Решение запишем в виде

$$e^{2i\delta} = \frac{A_1 A_2 - \rho B_1 B_2}{\rho B_3 B_4 - A_3 A_4} \equiv g - ih. \quad (5)$$

Таким образом, имеем нелинейное уравнение

$$\left| \frac{A_1 A_2 - \rho B_1 B_2}{\rho B_3 B_4 - A_3 A_4} \right| - 1 = 0, \quad (6)$$

в правую часть которого входят известные величины φ_1 , n_1 , n_3 , Δ , Ψ и одна неизвестная n_2 . Решив это уравнение, получим значение интересующего нас коэффициента преломления n_2 и соответствующие величины g и h . Из выражения (5) с очевидностью следует значение толщины слоя

$$d = \frac{\lambda \operatorname{arc} \operatorname{tg} (h/g)}{4\pi \sqrt{n_2^2 - n_1^2 \sin^2 \varphi_1}} + (0, 1, 2, \dots) \frac{\lambda}{4 \sqrt{n_2^2 - n_1^2 \sin^2 \varphi_1}}. \quad (7)$$

Аналогичный анализ формулы (3) приводит к

$$e^{-2\delta} = \frac{X_1 + \rho X_2 + i(\rho Y_2 - Y_1)}{X_1 - \rho X_2 - i(\rho Y_2 - Y_1)} \equiv l + im. \quad (8)$$

Но в этом случае $e^{-2\delta}$ действительно, т. е. должно быть

$$\operatorname{Im} \left[\frac{X_1 + \rho X_2 - i(\rho Y_2 - Y_1)}{X_1 - \rho X_2 - i(\rho Y_2 - Y_1)} \right] = 0. \quad (9)$$

Это уравнение полностью аналогично (6). Определив из него n_2 , из (8) получим значение толщины слоя

$$d = - \frac{\lambda \ln l}{4\pi \sqrt{n_1^2 \sin^2 \varphi_1 - n_2^2}}. \quad (10)$$

По поводу полученных результатов необходимо сделать следующие замечания. Уравнения (6) и (9) наверняка имеют несколько корней, поэтому следует найти их все и выбрать один, исходя из физических соображений (например, $1.3 < n_2 < 2.5$ для сплошных сред). Далее, толщина слоя по формуле (7) определяется с точностью до периода (обычно несколько тысяч Å). Если же толщина превышает период, необходимо грубое ее определение другими методами, дающее число периодов, и последующее уточнение из данных эллипсометрии. Во втором случае — формула (10) — толщина определяется однозначно, что является весьма благоприятным обстоятельством.

Таким образом, решение обратной эллипсометрической задачи в наших случаях, как и в методе Холмса, сводится к определению одной неизвестной величины — n_2 — из одного нелинейного уравнения, тогда как вторая — d — просто вычисляется по формулам (7) или (10). Для проведения такой процедуры в вычислительной математике разработано много методов [4] и стандартных программ [5]. Особая привлекательность развитого подхода, по мнению авторов, состоит в возможности реализации таких программ на малых вычислительных устройствах с объемом памяти в несколько килобайт.

Литература

- [1] R. M. A. Azzam, M. Elshazly-Zaghloul, N. M. Bashara. *Appl. Opt.*, 14, 1652, 1975.
- [2] O. S. Hevens. *Optical Properties of Thin Solid Films*, 52, N.—Y., 1965.
- [3] D. A. Holmes. *Appl. Opt.*, 6, 168, 1967.
- [4] Н. Н. Калиткин. Численные методы, 138—150. М., 1978.
- [5] Библиотека стандартных программ для вычислительного устройства 15-ВСМ5, т. 1, № 1—02.

Поступило в Редакцию 26 января 1979 г.